Eingabe: Farbmetrisches Offset-Reflektiv-System ORS18

für Buntton *h* = lab*h = 38/360 = 0.105*
lab*tch* und *lab*nch

D65: Buntton O
LCH*Ma: 48 83 38
olv*Ma: 1.0 0.0 0.0

Dreiecks-Helligkeit

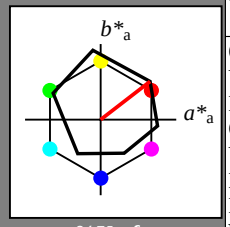

%Umfang

u*rel = 93

ORS18; adaptierte CIELAB-Daten

	L*=L*a	a*a	b*a	C*ab,a	h*ab,a
O_{Ma}	47.94	65.39	50.52	82.63	38
Y_{Ma}	90.37	−10.26	91.75	92.32	96
L_{Ma}	50.9	−62.83	34.96	71.91	151
C_{Ma}	58.62	−30.34	−45.01	54.3	236
V_{Ma}	25.72	31.1	−44.4	54.22	305
M_{Ma}	48.13	75.28	−8.36	75.74	354
N_{Ma}	18.01	0.0	0.0	0.0	0
W_{Ma}	95.41	0.0	0.0	0.0	0
R_{CIE}	39.92	58.66	26.98	64.57	25
J_{CIE}	81.26	−2.16	67.76	67.79	92
G_{CIE}	52.23	−42.25	11.76	43.87	164
B_{CIE}	30.57	1.15	−46.84	46.86	271

%Regularität

g*H,rel = 57

g*C,rel = 59

1,00 / 0,75 / 0,25 / 0,00

n = 0,00* / *n* = 0,25* / *n* = 0,50* / *n* = 1,0*

Schwarzheit *n**

0,25 / 0,50 / 0,75 / 1,00

relative Buntheit *c**

Ausgabe: Farbmetrisches Standard-Reflektiv-System SRS18

für Buntton *h* = lab*h = 30/360 = 0.083*
lab*tch* und *lab*nch

D65: Buntton O
LCH*Ma: 57 77 30
olv*Ma: 1.0 0.0 0.0

Dreiecks-Helligkeit

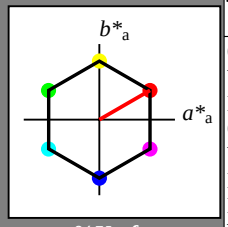

%Umfang

u*rel = 100

SRS18; adaptierte CIELAB-Daten

	L*=L*a	a*a	b*a	C*ab,a	h*ab,a
O_{Ma}	56.71	67.03	38.7	77.4	30
Y_{Ma}	56.71	0.0	77.4	77.4	90
L_{Ma}	56.71	−67.02	38.7	77.4	150
C_{Ma}	56.71	−67.02	−38.69	77.4	210
V_{Ma}	56.71	0.0	−77.39	77.4	270
M_{Ma}	56.71	67.03	−38.69	77.4	330
N_{Ma}	18.01	0.0	0.0	0.0	0
W_{Ma}	95.41	0.0	0.0	0.0	0
R_{CIE}	39.92	58.74	27.99	65.07	25
J_{CIE}	81.26	−2.88	71.56	71.62	92
G_{CIE}	52.23	−42.41	13.6	44.55	162
B_{CIE}	30.57	1.41	−46.46	46.49	272

%Regularität

g*H,rel = 100

g*C,rel = 100

1,00 / 0,75 / 0,25 / 0,00

n = 0,00* / *n* = 0,25* / *n* = 0,50* / *n* = 1,0*

Schwarzheit *n**

0,25 / 0,50 / 0,75 / 1,00

relative Buntheit *c**

NG420−7, 5 stufige Reihen für konstanten CIELAB Buntton 38/360 = 0.105 (links)

5 stufige Reihen für konstanten CIELAB Buntton 30/360 = 0.083 (rechts)

Eingabe: Farbmetrisches Offset-Reflektiv-System ORS18
für Buntton *h* = lab*h = 96/360 = 0.268*
lab*tch* und *lab*nch

D65: Buntton Y
LCH*Ma: 90 92 96
olv*Ma: 1.0 1.0 0.0

Dreiecks-Helligkeit

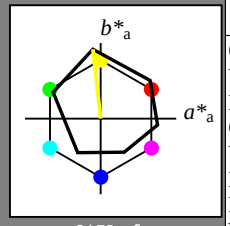

%Umfang

u*rel = 93

ORS18; adaptierte CIELAB-Daten

	L*=L*a	a*a	b*a	C*ab,a	h*ab,a
O_{Ma}	47.94	65.39	50.52	82.63	38
Y_{Ma}	90.37	−10.26	91.75	92.32	96
L_{Ma}	50.9	−62.83	34.96	71.91	151
C_{Ma}	58.62	−30.34	−45.01	54.3	236
V_{Ma}	25.72	31.1	−44.4	54.22	305
M_{Ma}	48.13	75.28	−8.36	75.74	354
N_{Ma}	18.01	0.0	0.0	0.0	0
W_{Ma}	95.41	0.0	0.0	0.0	0
R_{CIE}	39.92	58.66	26.98	64.57	25
J_{CIE}	81.26	−2.16	67.76	67.79	92
G_{CIE}	52.23	−42.25	11.76	43.87	164
B_{CIE}	30.57	1.15	−46.84	46.86	271

%Regularität

g*H,rel = 57

g*C,rel = 59

Ausgabe: Farbmetrisches Standard-Reflektiv-System SRS18
für Buntton *h* = lab*h = 90/360 = 0.25*
lab*tch* und *lab*nch

D65: Buntton Y
LCH*Ma: 57 77 90
olv*Ma: 1.0 1.0 0.0

Dreiecks-Helligkeit

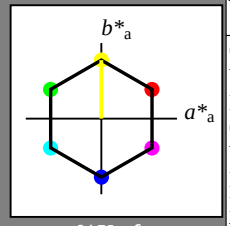

%Umfang

u*rel = 100

SRS18; adaptierte CIELAB-Daten

	L*=L*a	a*a	b*a	C*ab,a	h*ab,a
O_{Ma}	56.71	67.03	38.7	77.4	30
Y_{Ma}	56.71	0.0	77.4	77.4	90
L_{Ma}	56.71	−67.02	38.7	77.4	150
C_{Ma}	56.71	−67.02	−38.69	77.4	210
V_{Ma}	56.71	0.0	−77.39	77.4	270
M_{Ma}	56.71	67.03	−38.69	77.4	330
N_{Ma}	18.01	0.0	0.0	0.0	0
W_{Ma}	95.41	0.0	0.0	0.0	0
R_{CIE}	39.92	58.74	27.99	65.07	25
J_{CIE}	81.26	−2.88	71.56	71.62	92
G_{CIE}	52.23	−42.41	13.6	44.55	162
B_{CIE}	30.57	1.41	−46.46	46.49	272

%Regularität

g*H,rel = 100

g*C,rel = 100

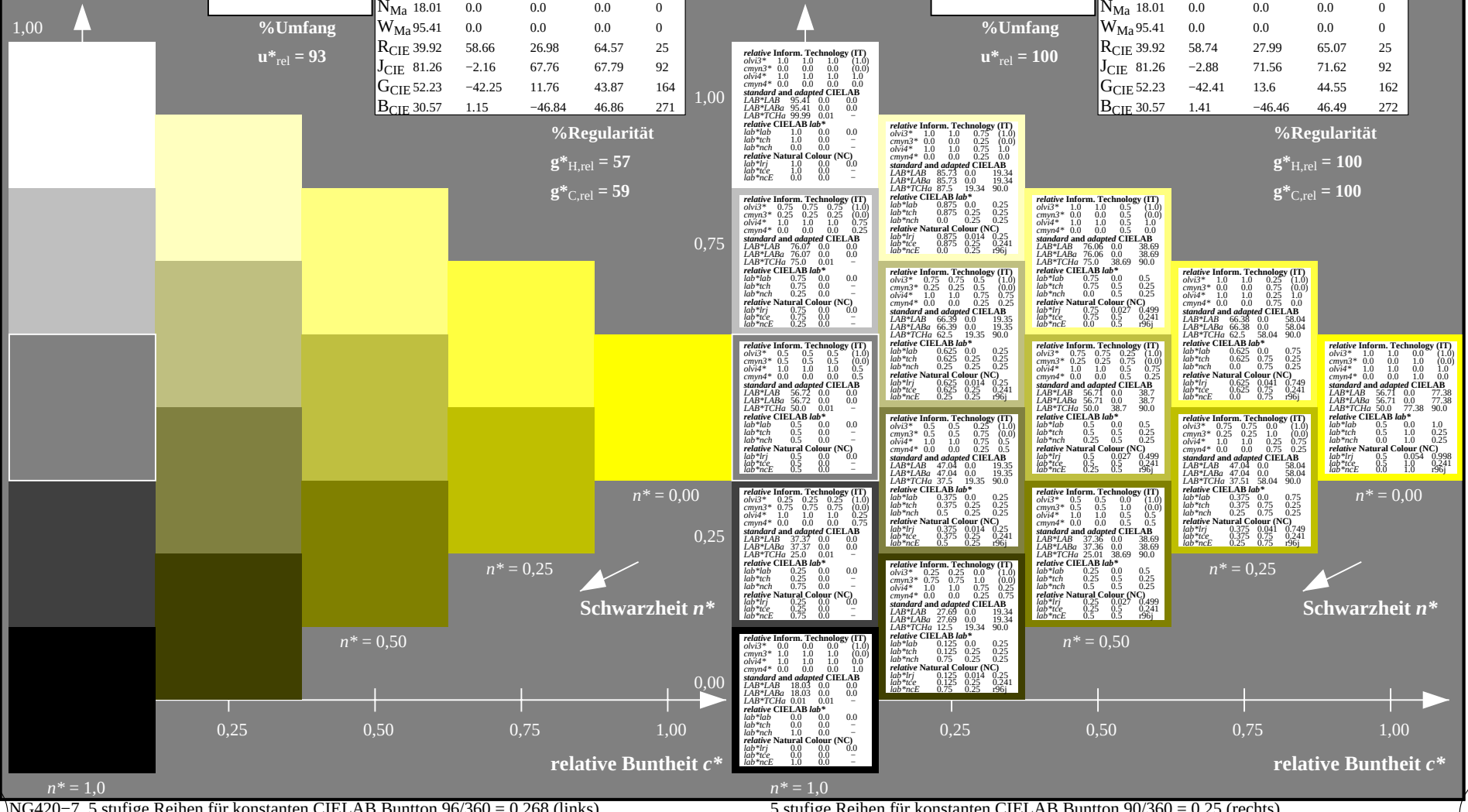

NG420−7, 5 stufige Reihen für konstanten CIELAB Buntton 96/360 = 0.268 (links)

5 stufige Reihen für konstanten CIELAB Buntton 90/360 = 0.25 (rechts)

BAM-Prüfvorlage NG42; Farbmetrik-Systeme ORS18 & SRS18 input: *olv* setrgbcolor*
D65: 5stufige Farbreihen und Koordinatendaten für 10 Bunttöne output: *no change compared to input*

Eingabe: Farbmetrisches Offset-Reflektiv-System ORS18
für Buntton *h* = lab*h = 151/360 = 0.419*
lab*tch* und *lab*nch

D65: Buntton L
LCH*Ma: 51 72 151
olv*Ma: 0.0 1.0 0.0

Dreiecks-Helligkeit

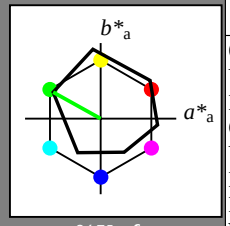

%Umfang
u*$_{rel}$ = 93

ORS18; adaptierte CIELAB-Daten

	L=L*$_a$*	*a*$_a$*	*b*$_a$*	*C*$_{ab,a}$*	*h*$_{ab,a}$*
O_{Ma}	47.94	65.39	50.52	82.63	38
Y_{Ma}	90.37	−10.26	91.75	92.32	96
L_{Ma}	50.9	−62.83	34.96	71.91	151
C_{Ma}	58.62	−30.34	−45.01	54.3	236
V_{Ma}	25.72	31.1	−44.4	54.22	305
M_{Ma}	48.13	75.28	−8.36	75.74	354
N_{Ma}	18.01	0.0	0.0	0.0	0
W_{Ma}	95.41	0.0	0.0	0.0	0
R_{CIE}	39.92	58.66	26.98	64.57	25
J_{CIE}	81.26	−2.16	67.76	67.79	92
G_{CIE}	52.23	−42.25	11.76	43.87	164
B_{CIE}	30.57	1.15	−46.84	46.86	271

%Regularität
g*$_{H,rel}$ = 57
g*$_{C,rel}$ = 59

Ausgabe: Farbmetrisches Standard-Reflektiv-System SRS18
für Buntton *h* = lab*h = 150/360 = 0.417*
lab*tch* und *lab*nch

D65: Buntton L
LCH*Ma: 57 77 150
olv*Ma: 0.0 1.0 0.0

Dreiecks-Helligkeit

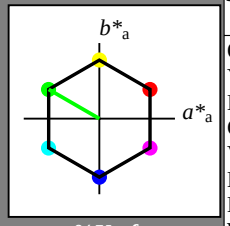

%Umfang
u*$_{rel}$ = 100

SRS18; adaptierte CIELAB-Daten

	L=L*$_a$*	*a*$_a$*	*b*$_a$*	*C*$_{ab,a}$*	*h*$_{ab,a}$*
O_{Ma}	56.71	67.03	38.7	77.4	30
Y_{Ma}	56.71	0.0	77.4	77.4	90
L_{Ma}	56.71	−67.02	38.7	77.4	150
C_{Ma}	56.71	−67.02	−38.69	77.4	210
V_{Ma}	56.71	0.0	−77.39	77.4	270
M_{Ma}	56.71	67.03	−38.69	77.4	330
N_{Ma}	18.01	0.0	0.0	0.0	0
W_{Ma}	95.41	0.0	0.0	0.0	0
R_{CIE}	39.92	58.74	27.99	65.07	25
J_{CIE}	81.26	−2.88	71.56	71.62	92
G_{CIE}	52.23	−42.41	13.6	44.55	162
B_{CIE}	30.57	1.41	−46.46	46.49	272

%Regularität
g*$_{H,rel}$ = 100
g*$_{C,rel}$ = 100

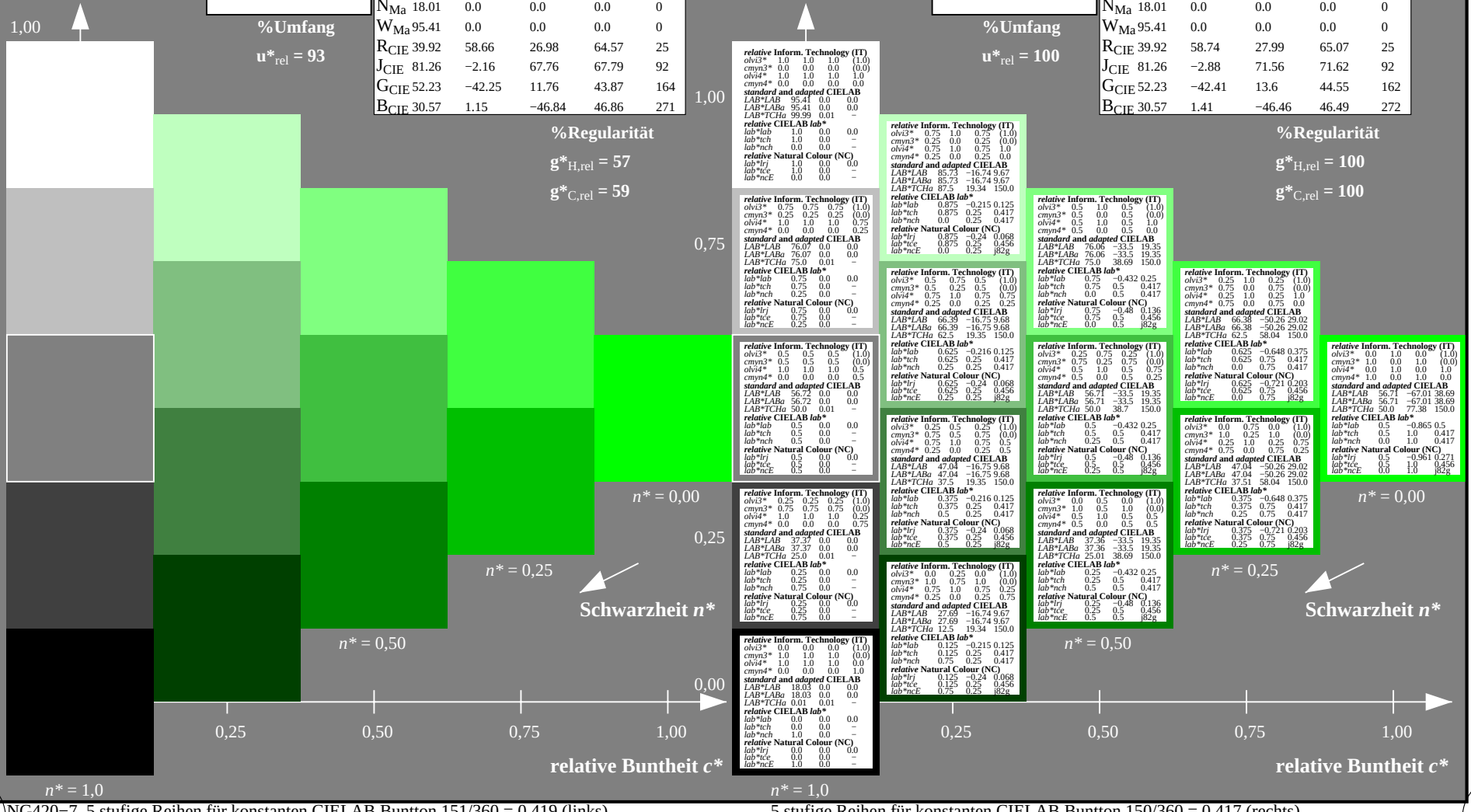

NG420−7, 5 stufige Reihen für konstanten CIELAB Buntton 151/360 = 0.419 (links)

5 stufige Reihen für konstanten CIELAB Buntton 150/360 = 0.417 (rechts)

BAM-Prüfvorlage NG42; Farbmetrik-Systeme ORS18 & SRS18 input: *olv* setrgbcolor*
D65: 5stufige Farbreihen und Koordinatendaten für 10 Bunttöne output: *no change compared to input*

Eingabe: Farbmetrisches Offset-Reflektiv-System ORS18
für Buntton *h* = lab*h = 236/360 = 0.656*
lab*tch* und *lab*nch

D65: Buntton C
LCH*Ma: 59 54 236
olv*Ma: 0.0 1.0 1.0

Dreiecks-Helligkeit

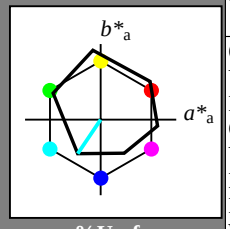

%Umfang

u*rel = 93

ORS18; adaptierte CIELAB-Daten

	L*=L*a	a*a	b*a	C*ab,a	h*ab,a
O_{Ma}	47.94	65.39	50.52	82.63	38
Y_{Ma}	90.37	−10.26	91.75	92.32	96
L_{Ma}	50.9	−62.83	34.96	71.91	151
C_{Ma}	58.62	−30.34	−45.01	54.3	236
V_{Ma}	25.72	31.1	−44.4	54.22	305
M_{Ma}	48.13	75.28	−8.36	75.74	354
N_{Ma}	18.01	0.0	0.0	0.0	0
W_{Ma}	95.41	0.0	0.0	0.0	0
R_{CIE}	39.92	58.66	26.98	64.57	25
J_{CIE}	81.26	−2.16	67.76	67.79	92
G_{CIE}	52.23	−42.25	11.76	43.87	164
B_{CIE}	30.57	1.15	−46.84	46.86	271

1,00

0,75

0,25

0,00

%Regularität

g*H,rel = 57

g*C,rel = 59

n = 0,00*

n = 0,25*

n = 0,50*

n = 1,0*

Schwarzheit *n**

0,25 0,50 0,75 1,00

relative Buntheit *c**

Ausgabe: Farbmetrisches Standard-Reflektiv-System SRS18
für Buntton *h* = lab*h = 210/360 = 0.583*
lab*tch* und *lab*nch

D65: Buntton C
LCH*Ma: 57 77 210
olv*Ma: 0.0 1.0 1.0

Dreiecks-Helligkeit

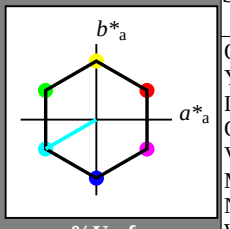

%Umfang

u*rel = 100

SRS18; adaptierte CIELAB-Daten

	L*=L*a	a*a	b*a	C*ab,a	h*ab,a
O_{Ma}	56.71	67.03	38.7	77.4	30
Y_{Ma}	56.71	0.0	77.4	77.4	90
L_{Ma}	56.71	−67.02	38.7	77.4	150
C_{Ma}	56.71	−67.02	−38.69	77.4	210
V_{Ma}	56.71	0.0	−77.39	77.4	270
M_{Ma}	56.71	67.03	−38.69	77.4	330
N_{Ma}	18.01	0.0	0.0	0.0	0
W_{Ma}	95.41	0.0	0.0	0.0	0
R_{CIE}	39.92	58.74	27.99	65.07	25
J_{CIE}	81.26	−2.88	71.56	71.62	92
G_{CIE}	52.23	−42.41	13.6	44.55	162
B_{CIE}	30.57	1.41	−46.46	46.49	272

1,00

0,75

0,25

0,00

%Regularität

g*H,rel = 100

g*C,rel = 100

n = 0,00*

n = 0,25*

n = 0,50*

n = 1,0*

Schwarzheit *n**

0,25 0,50 0,75 1,00

relative Buntheit *c**

NG420−7, 5 stufige Reihen für konstanten CIELAB Buntton 236/360 = 0.656 (links)

5 stufige Reihen für konstanten CIELAB Buntton 210/360 = 0.583 (rechts)

BAM-Prüfvorlage NG42; Farbmetrik-Systeme ORS18 & SRS18 input: *olv* setrgbcolor*
D65: 5stufige Farbreihen und Koordinatendaten für 10 Bunttöne output: *no change compared to input*

Eingabe: Farbmetrisches Offset-Reflektiv-System ORS18
für Buntton *h* = lab*h = 305/360 = 0.847*
lab*tch* und *lab*nch

D65: Buntton V
LCH*Ma: 26 54 305
olv*Ma: 0.0 0.0 1.0

Dreiecks-Helligkeit

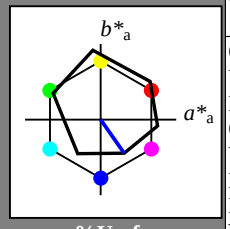

%Umfang
u*rel = 93

ORS18; adaptierte CIELAB-Daten

	L*=L*a	a*a	b*a	C*ab,a	h*ab,a
O_{Ma}	47.94	65.39	50.52	82.63	38
Y_{Ma}	90.37	−10.26	91.75	92.32	96
L_{Ma}	50.9	−62.83	34.96	71.91	151
C_{Ma}	58.62	−30.34	−45.01	54.3	236
V_{Ma}	25.72	31.1	−44.4	54.22	305
M_{Ma}	48.13	75.28	−8.36	75.74	354
N_{Ma}	18.01	0.0	0.0	0.0	0
W_{Ma}	95.41	0.0	0.0	0.0	0
R_{CIE}	39.92	58.66	26.98	64.57	25
J_{CIE}	81.26	−2.16	67.76	67.79	92
G_{CIE}	52.23	−42.25	11.76	43.87	164
B_{CIE}	30.57	1.15	−46.84	46.86	271

%Regularität
g*H,rel = 57
g*C,rel = 59

1,00
0,75
0,25
0,00
n = 0,00*
n = 0,25*
n = 0,50*
n = 1,0*
Schwarzheit *n**
0,25 0,50 0,75 1,00
relative Buntheit *c**

Ausgabe: Farbmetrisches Standard-Reflektiv-System SRS18
für Buntton *h* = lab*h = 270/360 = 0.75*
lab*tch* und *lab*nch

D65: Buntton V
LCH*Ma: 57 77 270
olv*Ma: 0.0 0.0 1.0

Dreiecks-Helligkeit

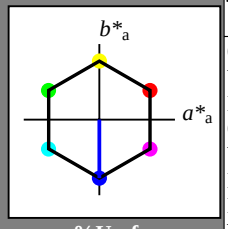

%Umfang
u*rel = 100

SRS18; adaptierte CIELAB-Daten

	L*=L*a	a*a	b*a	C*ab,a	h*ab,a
O_{Ma}	56.71	67.03	38.7	77.4	30
Y_{Ma}	56.71	0.0	77.4	77.4	90
L_{Ma}	56.71	−67.02	38.7	77.4	150
C_{Ma}	56.71	−67.02	−38.69	77.4	210
V_{Ma}	56.71	0.0	−77.39	77.4	270
M_{Ma}	56.71	67.03	−38.69	77.4	330
N_{Ma}	18.01	0.0	0.0	0.0	0
W_{Ma}	95.41	0.0	0.0	0.0	0
R_{CIE}	39.92	58.74	27.99	65.07	25
J_{CIE}	81.26	−2.88	71.56	71.62	92
G_{CIE}	52.23	−42.41	13.6	44.55	162
B_{CIE}	30.57	1.41	−46.46	46.49	272

%Regularität
g*H,rel = 100
g*C,rel = 100

1,00
0,75
0,25
0,00
n = 0,00*
n = 0,25*
n = 0,50*
n = 1,0*
Schwarzheit *n**
0,25 0,50 0,75 1,00
relative Buntheit *c**

NG420−7, 5 stufige Reihen für konstanten CIELAB Buntton 305/360 = 0.847 (links)
5 stufige Reihen für konstanten CIELAB Buntton 270/360 = 0.75 (rechts)

BAM-Prüfvorlage NG42; Farbmetrik-Systeme ORS18 & SRS18 input: *olv* setrgbcolor*
D65: 5stufige Farbreihen und Koordinatendaten für 10 Bunttöne output: *no change compared to input*

Eingabe: Farbmetrisches Offset-Reflektiv-System ORS18

für Buntton *h* = lab*h = 354/360 = 0.982*
*lab*tch* und *lab*nch*

D65: Buntton M
LCH*Ma: 48 76 354
olv*Ma: 1.0 0.0 1.0

Dreiecks-Helligkeit

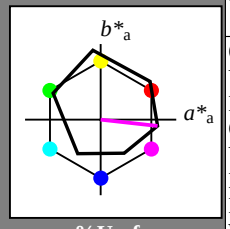

%Umfang

u^*_{rel} = 93

ORS18; adaptierte CIELAB-Daten

	$L^*=L^*_a$	a^*_a	b^*_a	$C^*_{ab,a}$	$h^*_{ab,a}$
O_{Ma}	47.94	65.39	50.52	82.63	38
Y_{Ma}	90.37	−10.26	91.75	92.32	96
L_{Ma}	50.9	−62.83	34.96	71.91	151
C_{Ma}	58.62	−30.34	−45.01	54.3	236
V_{Ma}	25.72	31.1	−44.4	54.22	305
M_{Ma}	48.13	75.28	−8.36	75.74	354
N_{Ma}	18.01	0.0	0.0	0.0	0
W_{Ma}	95.41	0.0	0.0	0.0	0
R_{CIE}	39.92	58.66	26.98	64.57	25
J_{CIE}	81.26	−2.16	67.76	67.79	92
G_{CIE}	52.23	−42.25	11.76	43.87	164
B_{CIE}	30.57	1.15	−46.84	46.86	271

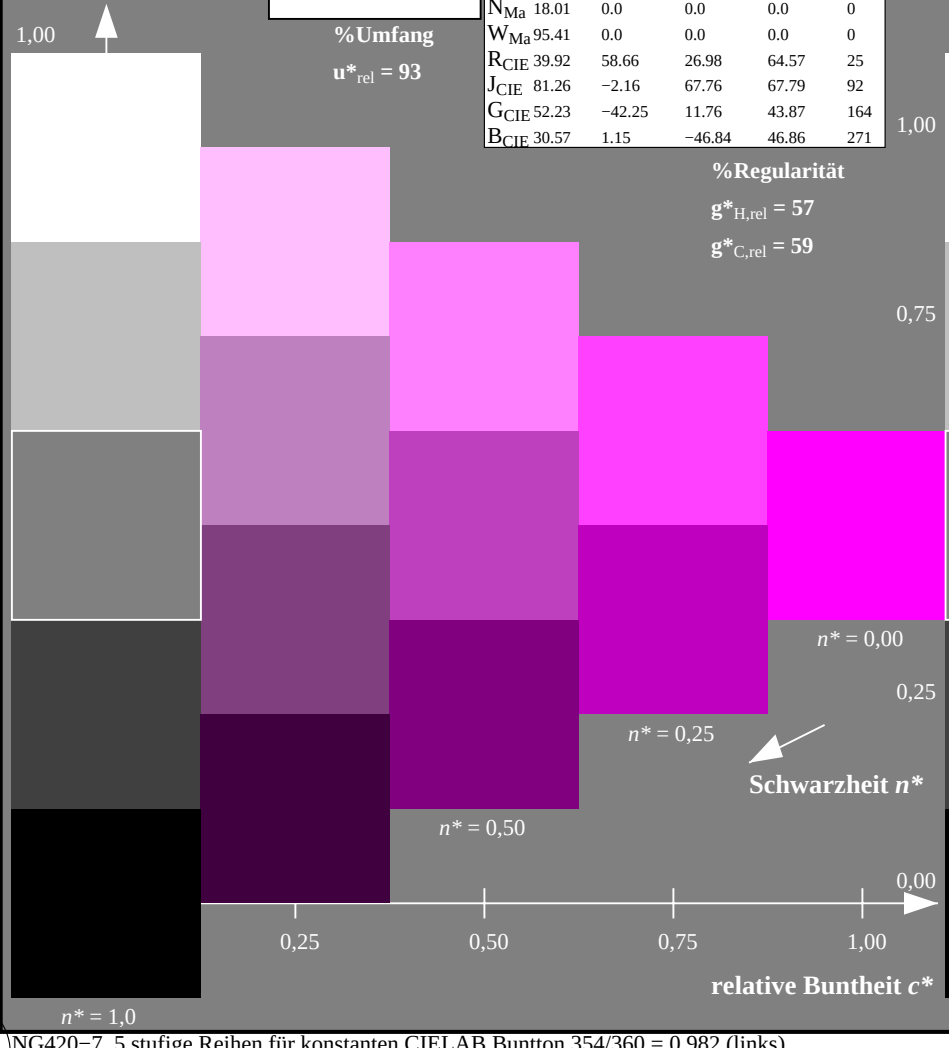

%Regularität

$g^*_{H,rel}$ = 57

$g^*_{C,rel}$ = 59

Ausgabe: Farbmetrisches Standard-Reflektiv-System SRS18

für Buntton *h* = lab*h = 330/360 = 0.917*
*lab*tch* und *lab*nch*

D65: Buntton M
LCH*Ma: 57 77 330
olv*Ma: 1.0 0.0 1.0

Dreiecks-Helligkeit

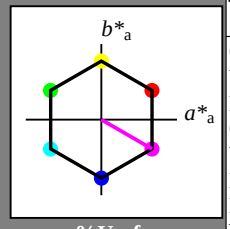

%Umfang

u^*_{rel} = 100

SRS18; adaptierte CIELAB-Daten

	$L^*=L^*_a$	a^*_a	b^*_a	$C^*_{ab,a}$	$h^*_{ab,a}$
O_{Ma}	56.71	67.03	38.7	77.4	30
Y_{Ma}	56.71	0.0	77.4	77.4	90
L_{Ma}	56.71	−67.02	38.7	77.4	150
C_{Ma}	56.71	−67.02	−38.69	77.4	210
V_{Ma}	56.71	0.0	−77.39	77.4	270
M_{Ma}	56.71	67.03	−38.69	77.4	330
N_{Ma}	18.01	0.0	0.0	0.0	0
W_{Ma}	95.41	0.0	0.0	0.0	0
R_{CIE}	39.92	58.74	27.99	65.07	25
J_{CIE}	81.26	−2.88	71.56	71.62	92
G_{CIE}	52.23	−42.41	13.6	44.55	162
B_{CIE}	30.57	1.41	−46.46	46.49	272

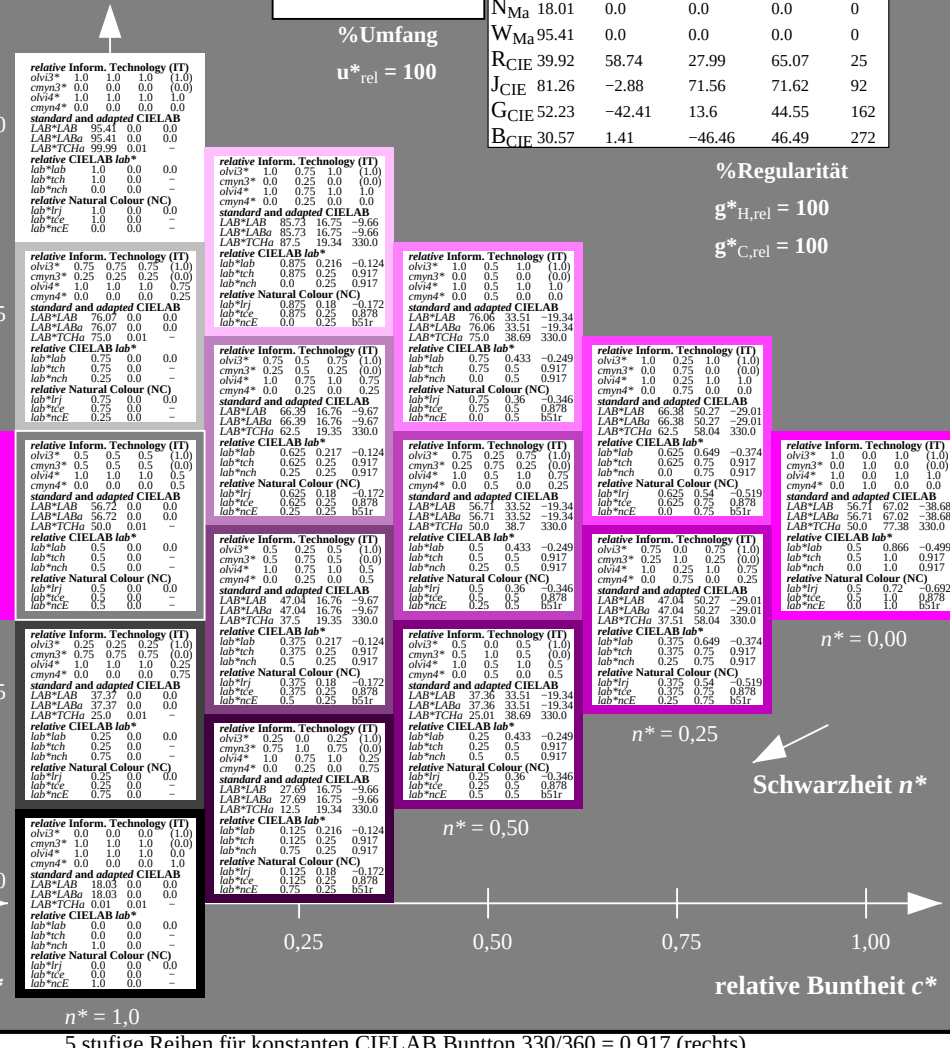

%Regularität

$g^*_{H,rel}$ = 100

$g^*_{C,rel}$ = 100

NG420−7, 5 stufige Reihen für konstanten CIELAB Buntton 354/360 = 0.982 (links)

5 stufige Reihen für konstanten CIELAB Buntton 330/360 = 0.917 (rechts)

Eingabe: Farbmetrisches Offset-Reflektiv-System ORS18
für Buntton *h* = lab*h = 25/360 = 0.069*
lab*tch* und *lab*nch

D65: Buntton R
LCH*Ma: 48 75 25
olv*Ma: 1.0 0.0 0.32

Dreiecks-Helligkeit

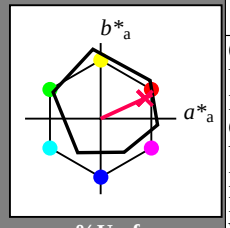

%Umfang
u*rel = 93

ORS18; adaptierte CIELAB-Daten

	L*=L*a	a*a	b*a	C*ab,a	h*ab,a
O_{Ma}	47.94	65.39	50.52	82.63	38
Y_{Ma}	90.37	−10.26	91.75	92.32	96
L_{Ma}	50.9	−62.83	34.96	71.91	151
C_{Ma}	58.62	−30.34	−45.01	54.3	236
V_{Ma}	25.72	31.1	−44.4	54.22	305
M_{Ma}	48.13	75.28	−8.36	75.74	354
N_{Ma}	18.01	0.0	0.0	0.0	0
W_{Ma}	95.41	0.0	0.0	0.0	0
R_{CIE}	39.92	58.66	26.98	64.57	25
J_{CIE}	81.26	−2.16	67.76	67.79	92
G_{CIE}	52.23	−42.25	11.76	43.87	164
B_{CIE}	30.57	1.15	−46.84	46.86	271

%Regularität
g*H,rel = 57
g*C,rel = 59

Ausgabe: Farbmetrisches Standard-Reflektiv-System SRS18
für Buntton *h* = lab*h = 25/360 = 0.071*
lab*tch* und *lab*nch

D65: Buntton R
LCH*Ma: 57 74 25
olv*Ma: 1.0 0.0 0.09

Dreiecks-Helligkeit

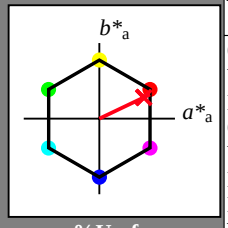

%Umfang
u*rel = 100

SRS18; adaptierte CIELAB-Daten

	L*=L*a	a*a	b*a	C*ab,a	h*ab,a
O_{Ma}	56.71	67.03	38.7	77.4	30
Y_{Ma}	56.71	0.0	77.4	77.4	90
L_{Ma}	56.71	−67.02	38.7	77.4	150
C_{Ma}	56.71	−67.02	−38.69	77.4	210
V_{Ma}	56.71	0.0	−77.39	77.4	270
M_{Ma}	56.71	67.03	−38.69	77.4	330
N_{Ma}	18.01	0.0	0.0	0.0	0
W_{Ma}	95.41	0.0	0.0	0.0	0
R_{CIE}	39.92	58.74	27.99	65.07	25
J_{CIE}	81.26	−2.88	71.56	71.62	92
G_{CIE}	52.23	−42.41	13.6	44.55	162
B_{CIE}	30.57	1.41	−46.46	46.49	272

%Regularität
g*H,rel = 100
g*C,rel = 100

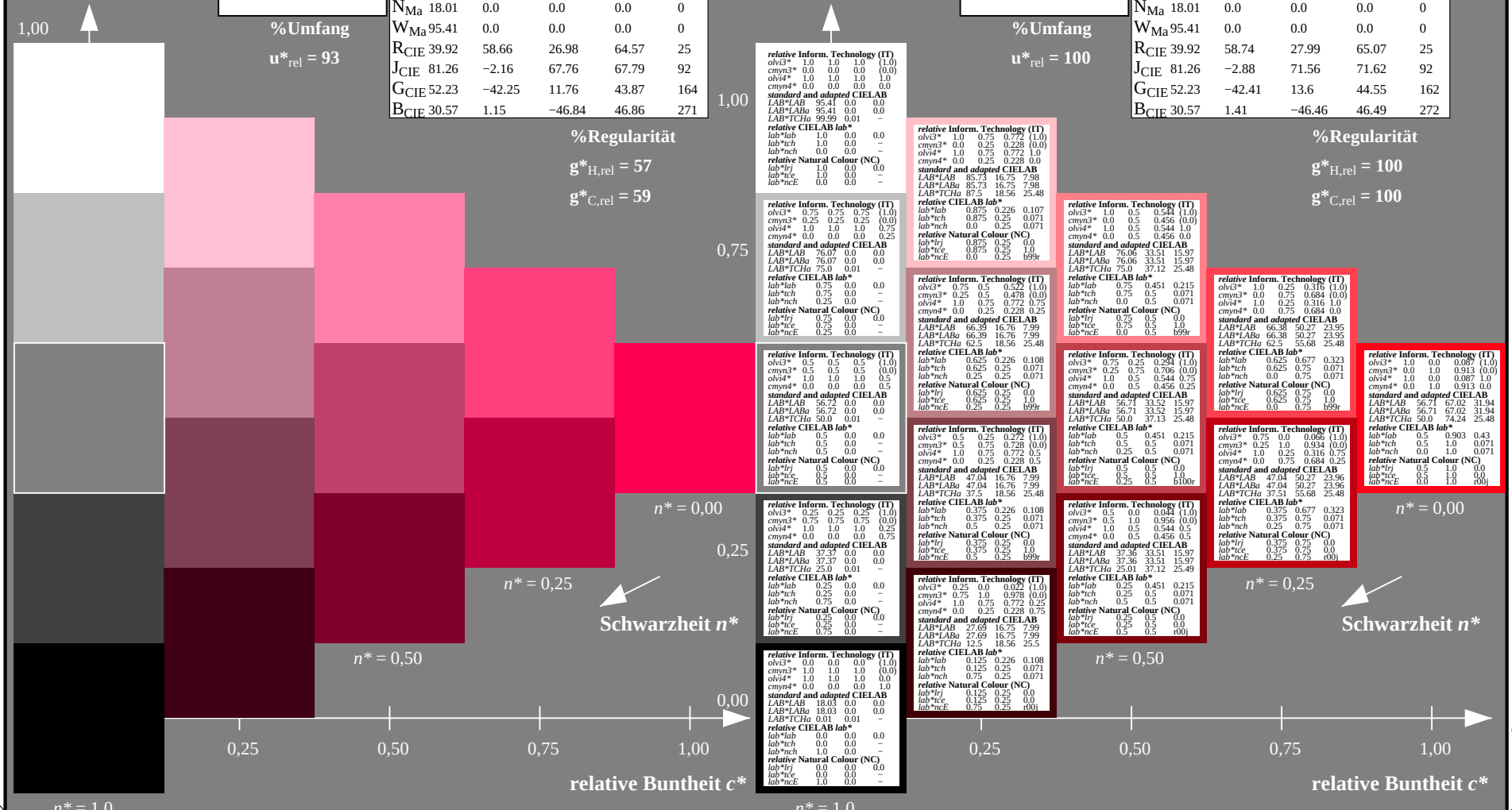

NG420−7, 5 stufige Reihen für konstanten CIELAB Buntton 25/360 = 0.069 (links)

5 stufige Reihen für konstanten CIELAB Buntton 25/360 = 0.071 (rechts)

BAM-Prüfvorlage NG42; Farbmetrik-Systeme ORS18 & SRS18 input: *olv* setrgbcolor*
D65: 5stufige Farbreihen und Koordinatendaten für 10 Bunttöne output: *no change compared to input*

Eingabe: Farbmetrisches Offset-Reflektiv-System ORS18
für Buntton *h* = lab*h = 92/360 = 0.255*
lab*tch* und *lab*nch

D65: Buntton J
LCH*Ma: 86 88 92
olv*Ma: 1.0 0.9 0.0

Dreiecks-Helligkeit

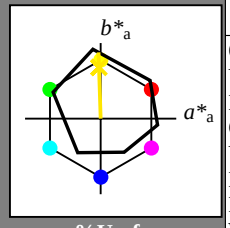

%Umfang

u*$_{rel}$ = 93

ORS18; adaptierte CIELAB-Daten

	L*=L*$_a$	a*$_a$	b*$_a$	C*$_{ab,a}$	h*$_{ab,a}$
O_{Ma}	47.94	65.39	50.52	82.63	38
Y_{Ma}	90.37	−10.26	91.75	92.32	96
L_{Ma}	50.9	−62.83	34.96	71.91	151
C_{Ma}	58.62	−30.34	−45.01	54.3	236
V_{Ma}	25.72	31.1	−44.4	54.22	305
M_{Ma}	48.13	75.28	−8.36	75.74	354
N_{Ma}	18.01	0.0	0.0	0.0	0
W_{Ma}	95.41	0.0	0.0	0.0	0
R_{CIE}	39.92	58.66	26.98	64.57	25
J_{CIE}	81.26	−2.16	67.76	67.79	92
G_{CIE}	52.23	−42.25	11.76	43.87	164
B_{CIE}	30.57	1.15	−46.84	46.86	271

%Regularität

g*$_{H,rel}$ = 57

g*$_{C,rel}$ = 59

Ausgabe: Farbmetrisches Standard-Reflektiv-System SRS18
für Buntton *h* = lab*h = 92/360 = 0.256*
lab*tch* und *lab*nch

D65: Buntton J
LCH*Ma: 57 76 92
olv*Ma: 0.95 1.0 0.0

Dreiecks-Helligkeit

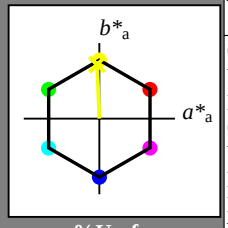

%Umfang

u*$_{rel}$ = 100

SRS18; adaptierte CIELAB-Daten

	L*=L*$_a$	a*$_a$	b*$_a$	C*$_{ab,a}$	h*$_{ab,a}$
O_{Ma}	56.71	67.03	38.7	77.4	30
Y_{Ma}	56.71	0.0	77.4	77.4	90
L_{Ma}	56.71	−67.02	38.7	77.4	150
C_{Ma}	56.71	−67.02	−38.69	77.4	210
V_{Ma}	56.71	0.0	−77.39	77.4	270
M_{Ma}	56.71	67.03	−38.69	77.4	330
N_{Ma}	18.01	0.0	0.0	0.0	0
W_{Ma}	95.41	0.0	0.0	0.0	0
R_{CIE}	39.92	58.74	27.99	65.07	25
J_{CIE}	81.26	−2.88	71.56	71.62	92
G_{CIE}	52.23	−42.41	13.6	44.55	162
B_{CIE}	30.57	1.41	−46.46	46.49	272

%Regularität

g*$_{H,rel}$ = 100

g*$_{C,rel}$ = 100

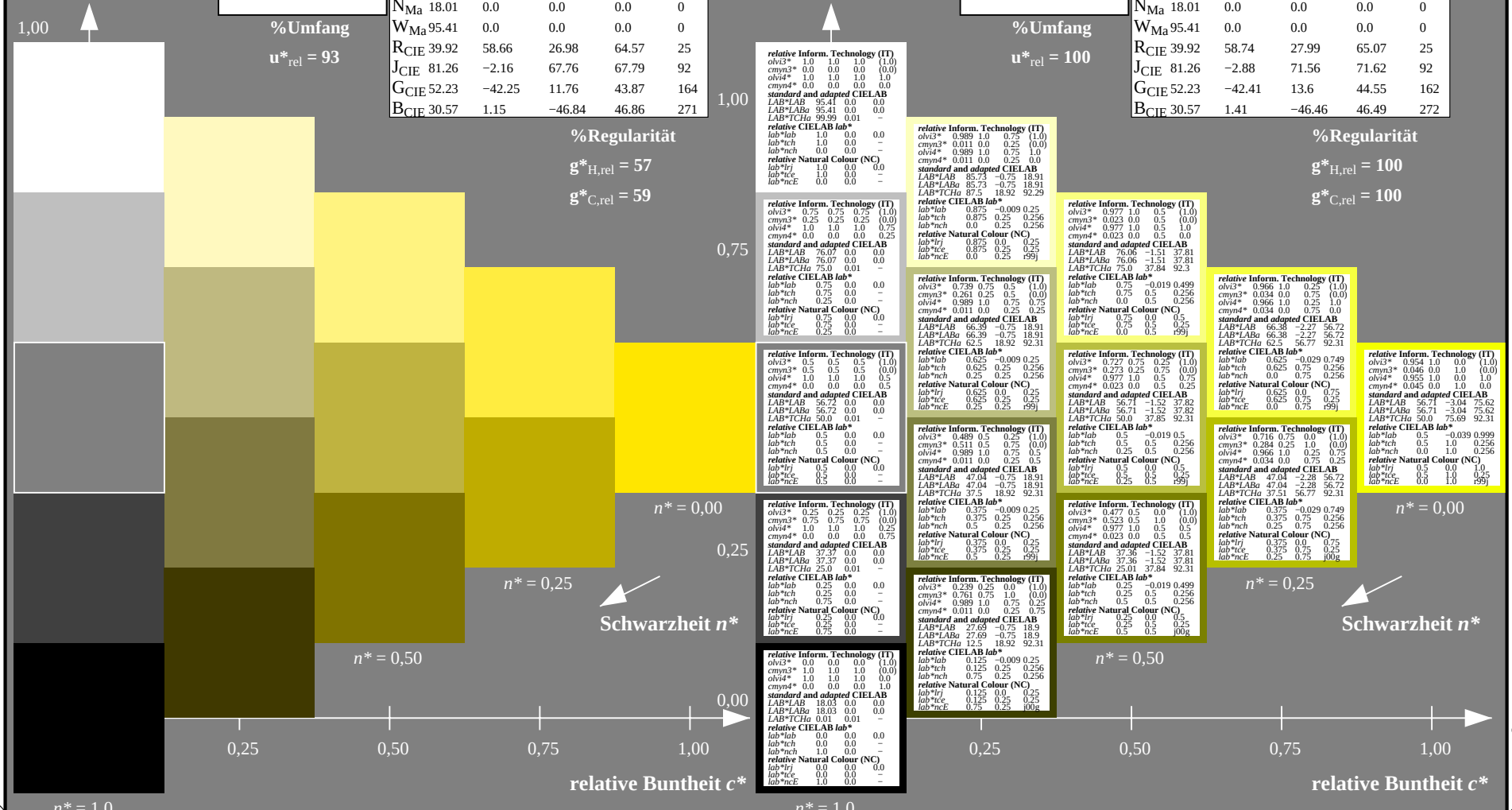

NG420−7, 5 stufige Reihen für konstanten CIELAB Buntton 92/360 = 0.255 (links)

5 stufige Reihen für konstanten CIELAB Buntton 92/360 = 0.256 (rechts)

BAM-Prüfvorlage NG42; Farbmetrik-Systeme ORS18 & SRS18 input: *olv* setrgbcolor*
D65: 5stufige Farbreihen und Koordinatendaten für 10 Bunttöne output: *no change compared to input*

Eingabe: Farbmetrisches Offset-Reflektiv-System ORS18
für Buntton *h* = lab*h = 164/360 = 0.457*
lab*tch* und *lab*nch

D65: Buntton G
LCH*Ma: 53 57 164
olv*Ma: 0.0 1.0 0.25

Dreiecks-Helligkeit

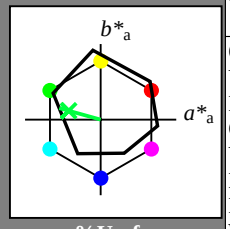

%Umfang
u*rel = 93

ORS18; adaptierte CIELAB-Daten

	L*=L*a	a*a	b*a	C*ab,a	h*ab,a
O_{Ma}	47.94	65.39	50.52	82.63	38
Y_{Ma}	90.37	−10.26	91.75	92.32	96
L_{Ma}	50.9	−62.83	34.96	71.91	151
C_{Ma}	58.62	−30.34	−45.01	54.3	236
V_{Ma}	25.72	31.1	−44.4	54.22	305
M_{Ma}	48.13	75.28	−8.36	75.74	354
N_{Ma}	18.01	0.0	0.0	0.0	0
W_{Ma}	95.41	0.0	0.0	0.0	0
R_{CIE}	39.92	58.66	26.98	64.57	25
J_{CIE}	81.26	−2.16	67.76	67.79	92
G_{CIE}	52.23	−42.25	11.76	43.87	164
B_{CIE}	30.57	1.15	−46.84	46.86	271

%Regularität
g*H,rel = 57
g*C,rel = 59

1,00
0,75
0,25
0,00
n = 0,00*
n = 0,25*
n = 0,50*
n = 1,0*
Schwarzheit *n**
0,25 0,50 0,75 1,00
relative Buntheit *c**

Ausgabe: Farbmetrisches Standard-Reflektiv-System SRS18
für Buntton *h* = lab*h = 162/360 = 0.451*
lab*tch* und *lab*nch

D65: Buntton G
LCH*Ma: 57 70 162
olv*Ma: 0.0 1.0 0.22

Dreiecks-Helligkeit

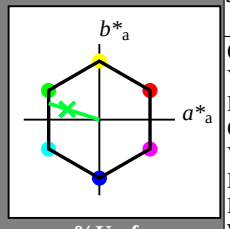

%Umfang
u*rel = 100

SRS18; adaptierte CIELAB-Daten

	L*=L*a	a*a	b*a	C*ab,a	h*ab,a
O_{Ma}	56.71	67.03	38.7	77.4	30
Y_{Ma}	56.71	0.0	77.4	77.4	90
L_{Ma}	56.71	−67.02	38.7	77.4	150
C_{Ma}	56.71	−67.02	−38.69	77.4	210
V_{Ma}	56.71	0.0	−77.39	77.4	270
M_{Ma}	56.71	67.03	−38.69	77.4	330
N_{Ma}	18.01	0.0	0.0	0.0	0
W_{Ma}	95.41	0.0	0.0	0.0	0
R_{CIE}	39.92	58.74	27.99	65.07	25
J_{CIE}	81.26	−2.88	71.56	71.62	92
G_{CIE}	52.23	−42.41	13.6	44.55	162
B_{CIE}	30.57	1.41	−46.46	46.49	272

%Regularität
g*H,rel = 100
g*C,rel = 100

1,00
0,75
0,25
0,00
n = 0,00*
n = 0,25*
n = 0,50*
n = 1,0*
Schwarzheit *n**
0,25 0,50 0,75 1,00
relative Buntheit *c**

NG420−7, 5 stufige Reihen für konstanten CIELAB Buntton 164/360 = 0.457 (links)
5 stufige Reihen für konstanten CIELAB Buntton 162/360 = 0.451 (rechts)

BAM-Prüfvorlage NG42; Farbmetrik-Systeme ORS18 & SRS18 input: *olv* setrgbcolor*
D65: 5stufige Farbreihen und Koordinatendaten für 10 Bunttöne output: *no change compared to input*

Eingabe: Farbmetrisches Offset-Reflektiv-System ORS18
für Buntton *h* = lab*h = 271/360 = 0.754*
lab*tch* und *lab*nch

D65: Buntton B
LCH*Ma: 42 45 271
olv*Ma: 0.0 0.49 1.0

Dreiecks-Helligkeit

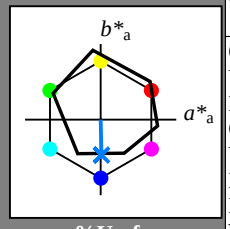

%Umfang
u*rel = 93

ORS18; adaptierte CIELAB-Daten

	L*=L*a	a*a	b*a	C*ab,a	h*ab,a
O_{Ma}	47.94	65.39	50.52	82.63	38
Y_{Ma}	90.37	−10.26	91.75	92.32	96
L_{Ma}	50.9	−62.83	34.96	71.91	151
C_{Ma}	58.62	−30.34	−45.01	54.3	236
V_{Ma}	25.72	31.1	−44.4	54.22	305
M_{Ma}	48.13	75.28	−8.36	75.74	354
N_{Ma}	18.01	0.0	0.0	0.0	0
W_{Ma}	95.41	0.0	0.0	0.0	0
R_{CIE}	39.92	58.66	26.98	64.57	25
J_{CIE}	81.26	−2.16	67.76	67.79	92
G_{CIE}	52.23	−42.25	11.76	43.87	164
B_{CIE}	30.57	1.15	−46.84	46.86	271

%Regularität
g*H,rel = 57
g*C,rel = 59

Ausgabe: Farbmetrisches Standard-Reflektiv-System SRS18
für Buntton *h* = lab*h = 272/360 = 0.755*
lab*tch* und *lab*nch

D65: Buntton B
LCH*Ma: 57 76 272
olv*Ma: 0.03 0.0 1.0

Dreiecks-Helligkeit

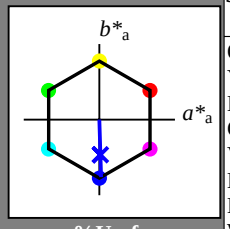

%Umfang
u*rel = 100

SRS18; adaptierte CIELAB-Daten

	L*=L*a	a*a	b*a	C*ab,a	h*ab,a
O_{Ma}	56.71	67.03	38.7	77.4	30
Y_{Ma}	56.71	0.0	77.4	77.4	90
L_{Ma}	56.71	−67.02	38.7	77.4	150
C_{Ma}	56.71	−67.02	−38.69	77.4	210
V_{Ma}	56.71	0.0	−77.39	77.4	270
M_{Ma}	56.71	67.03	−38.69	77.4	330
N_{Ma}	18.01	0.0	0.0	0.0	0
W_{Ma}	95.41	0.0	0.0	0.0	0
R_{CIE}	39.92	58.74	27.99	65.07	25
J_{CIE}	81.26	−2.88	71.56	71.62	92
G_{CIE}	52.23	−42.41	13.6	44.55	162
B_{CIE}	30.57	1.41	−46.46	46.49	272

%Regularität
g*H,rel = 100
g*C,rel = 100

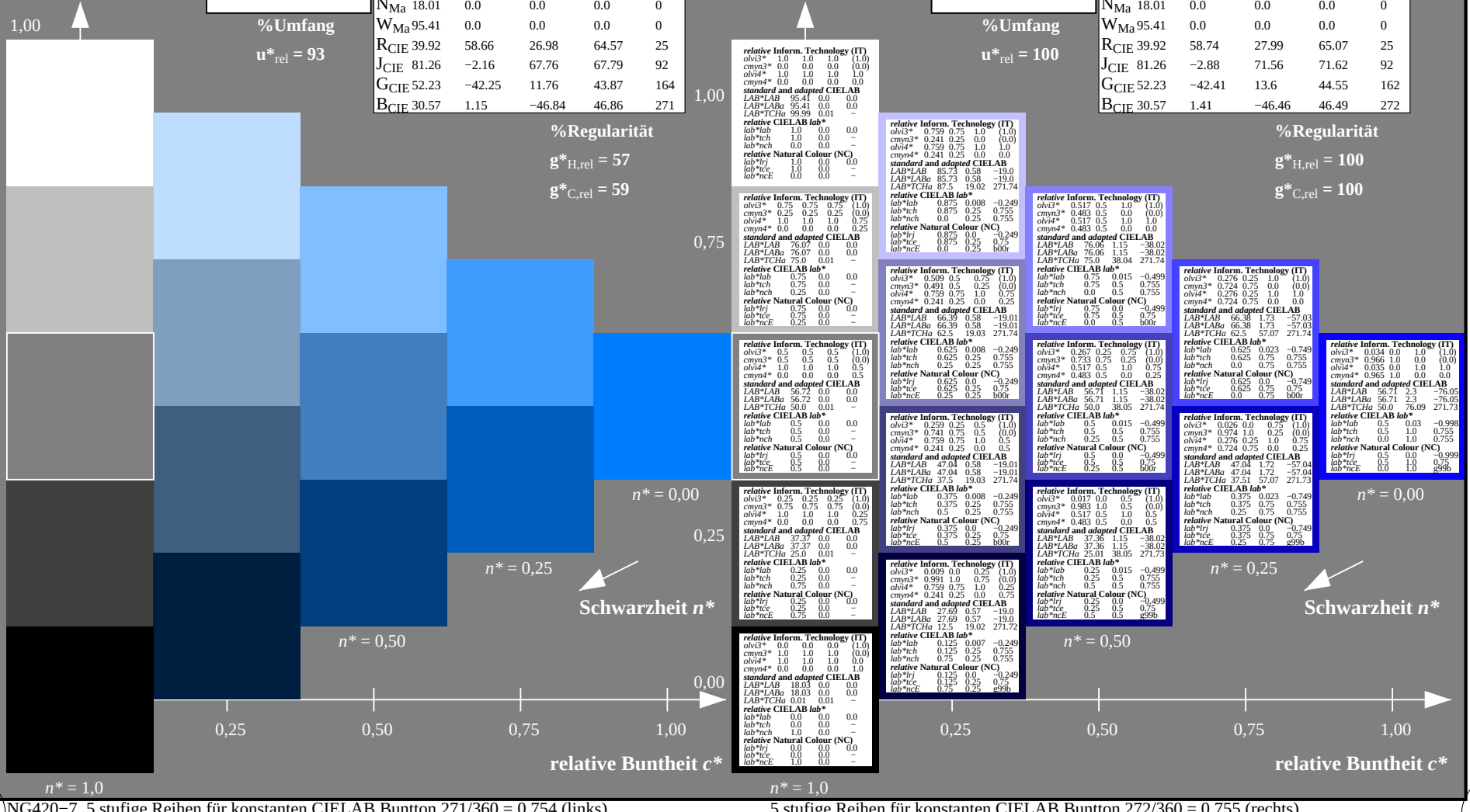

NG420−7, 5 stufige Reihen für konstanten CIELAB Buntton 271/360 = 0.754 (links)

5 stufige Reihen für konstanten CIELAB Buntton 272/360 = 0.755 (rechts)

BAM-Prüfvorlage NG42; Farbmetrik-Systeme ORS18 & SRS18 input: *olv* setrgbcolor*
D65: 5stufige Farbreihen und Koordinatendaten für 10 Bunttöne output: *no change compared to input*